

Государственный научный центр
Российской Федерации
ИНСТИТУТ ЯДЕРНОЙ ФИЗИКИ им. Г.И. Будкера СО РАН

Г.А. Артин, Н.С. Бучельникова

ВОЛНА БЕРНШТЕЙНА–ГРИНА–КРУСКАЛА.
МОДУЛЯЦИОННАЯ НЕУСТОЙЧИВОСТЬ. I.

ИЯФ 96-30

НОВОСИБИРСК
1996

Волна Бернштейна–Грина–Крускала.

Модуляционная неустойчивость. I.

it Г.А. Артин, Н.С. Бучельникова

Государственный научный центр

Российской Федерации

Институт ядерной физики им. Г.И. Будкера СО РАН

Аннотация

Проведены численные эксперименты (метод частиц в ячейках) по сравнению развития волны БГК типа сгустков и ленгмюровской волны в плазме с подвижными ионами ($M/m = 10^2$).

Показано, что волна БГК с параметрами, при которых не развивается неустойчивость сателлитов, устойчива и в плазме с подвижными ионами – модуляционная неустойчивость такой волны не развивается. Развитие ленгмюровской волны с такими же параметрами приводит к модуляционной неустойчивости и коллапсу.

The Bernstein–Green–Kruskal Wave.

The Modulational Instability. I.

G.A. Artin, N.S. Buchelnikova

The State Research Center of Russia

The Budker Institute of Nuclear Physics, SB RAS

Abstract

The evolution of the bunch-type BGK wave and the Langmuir wave in the plasma with the mobile ions ($M/m = 10^2$) is studied in the numerical experiments (PIC-method).

It is shown that the BGK-wave with the parameters, which do not permit the excitation of the sideband instability, is stable – the modulational instability is not excited. The Langmuir wave with the same parameters is unstable – its evolution leads to the modulational instability and the collapse.

В настоящей работе описаны численные эксперименты (метод частиц в ячейках) по исследованию устойчивости волны БГК типа сгустков захваченных электронов (назовем их b -электроны) в плазме с подвижными ионами. Ранее [1, 2] было показано, что волна такого типа неустойчива относительно возбуждения сателлитов – ленгмюровских волн с фазовыми скоростями меньше фазовой скорости волны БГК $V_\phi^N < V_\phi^B$. Сателлитная неустойчивость имеет заметный инкремент $\gamma/\omega_{oe} > 1 \cdot 10^{-3}$, если параметр $\alpha = \frac{V_\phi^B + V_\phi^N}{V_\phi^B - V_\phi^N} > 0,8$ ($V_\phi = 2\sqrt{\frac{e\varphi}{m}}$) [1]. Если $\alpha < 0,8$, волна БГК в плазме с неподвижными ионами практически устойчива в течение длительного времени порядка сотен плазменных периодов $T_{oe}(T_{oe} = \frac{2\pi}{\omega_{oe}})$ [1, 3].

В работах [1, 2] показано, что сателлитная неустойчивость приводит к сильной стохастической неустойчивости движения b -электронов в районе областей захвата волны БГК и гармоник-сателлитов. Это приводит к изменению функции распределения по скорости. В результате возбуждаются новые более коротковолновые сателлиты, которые также включаются в сильную стохастическую неустойчивость. Это приводит к формированию на фазовой плоскости медленно развивающейся структуры БГК типа.

Волна БГК типа сгустков представляет собой ленгмюровскую волну, область захвата которой заполнена электронами. Устойчивость простой ленгмюровской волны в плазме с подвижными ионами исследовалась ранее, в частности, в наших численных экспериментах [4, 5]. Было найдено, что монохроматическая ленгмюровская волна неустойчива относительно модуляционной неустойчивости. Развитие модуляционной неустойчивости очень чувствительно к затравочному возмущению плотности плазмы. На таком возмущении идет конверсия ленгмюровской волны, которая приводит к генерации гармоник с волновыми векторами $k_N = k_e \pm \beta k_i$, $\beta = 1, 2, 3\dots$ (номера гармоник $N = N_e \pm \beta N_i$) [6, 7]. В динамическом описании конверсия проявляется в модуляции поля волны. В плазме с подвижными ионами модуляция поля приводит к развитию модуляционной неустойчивости. При малых амплитудах ленгмюровской волны модуляционная неустойчивость приводит к формированию ленгмюровских солитонов, при большой – к коллапсу [4, 5].

В настоящей работе исследуется устойчивость волны БГК в сравнении с ленгмюровской волной. Работа разбита на три части. В первой части рассматривается вол-

на БГК с параметрами $\lambda^B/r_d = 100$, $V_\phi^B/V_T = 15, 1$; $E_0^B = 15, 6$; $V_s^B/V_T = 5, 0$ (здесь и далее E нормировано на mr_d/eT_{oe}^2) в короткой системе $L = \lambda^B$, так что $N^B = 1$. Для гармоники $N = 2$ с фазовой скоростью, ближней к V_ϕ^B , $\alpha^{I-II} \sim 0, 7 < 0, 8$, так что волна БГК устойчива относительно возбуждения сателлитов $N \geq 2$.

Рассматривается также волна БГК с параметрами $\lambda^B/r_d = 100$; $V_\phi^B/V_T = 16$; $E_o^B = 1, 95$; $V_s^B/V_T = 1, 8$ в длинной системе $L = 300 r_d = 3\lambda^B$, так что $N^B = 3$. Для ближней гармоники $N = 4$ $\alpha^{III-IV} \sim 0, 46 < 0, 8$, так что волна устойчива относительно возбуждения сателлитов $N \geq 4$.

Во второй части рассматривается волна БГК с другими параметрами $\lambda^B/r_d = 100$; $V_\phi^B/V_T = 15, 0$; $E_o^B = 28, 8$; $V_s^B/V_T = 6, 8$ в короткой системе $L = \lambda^B$, так что $N^B = 1$. Однако, в этом случае $\alpha^{III-IV} \sim 1, 0 > 0, 8$ и волна БГК неустойчива относительно возбуждения сателлита $N = 2$, а при развитии сателлитной неустойчивости – $N = 3 - 4\dots$

В третьей части рассматривается та же волна, что и в первой части ($\lambda^B/r_d = 100$; $V_\phi^B/V_T = 15, 1$; $E_0^B = 15, 6$; $V_s^B/V_T = 5, 0$), но в длинной системе $L = 3\lambda^B = 300r_d$, $N^B = 3$. Для гармоники $N = 4$ с V_ϕ^N , ближней к V_ϕ^B , $\alpha^{III-IV} \sim 1, 67 > 0, 8$ и волна БГК неустойчива относительно возбуждения сателлита $N = 4$, а при развитии сателлитной неустойчивости – $N = 5 - 6\dots$.

Найдено, что в отсутствие сателлитной неустойчивости ($\alpha < 0, 8$) волна БГК устойчива – модуляционная неустойчивость не развивается, даже если есть небольшие возмущения плотности $\tilde{n}/n_0 \leq 0, 1$. При тех же условиях ленгмюровская волна с теми же параметрами неустойчива, причем развитие модуляционной неустойчивости приводит к коллапсу и затуханию поля.

Если сателлитная неустойчивость возможна ($\alpha > 0, 8$) развитие гармоник-сателлитов приводит к модуляции поля волны БГК. В результате, если есть затравочные возмущения плотности плазмы, развивается модуляционная неустойчивость, которая приводит к коллапсу и затуханию поля подобно ленгмюровской волне.

Численный эксперимент выполняется методом частиц в ячейках. Рассматривается одномерная система длиной L с периодическими граничными условиями. Для электронов и ионов плазмы задается максвелловское распределение по скоростям $T_e/T_i = 30$, $M/m = 10^2$ или 10^{10} , обрезанное на $V \sim \pm 2V_T$ из-за ограниченности числа счетных частиц ($N^e \sim 10^4$ на длине $100r_d$).

Для снижения начального уровня шумов, обусловленных флюктуацией плотности частиц, используется метод спокойного старта [8], позволяющий снизить уровень шумов на несколько порядков. Однако, этот метод не обеспечивает постоянного снижения уровня шумов – с течением времени уровень шумов нарастает. Ионно-звуковые шумы (i – шумы) достигают амплитуды $\tilde{n}/n_0 \sim 10^{-1}$ (амплитуды гармоник $\tilde{n}^N/n_0 \leq 3 - 4 \cdot 10^{-2}$) к $t/T_{oe} \geq 40 - 50$.

Для задания волны БГК задается ленгмюровская волна и ее область захвата на

фазовой плоскости равномерно заполняется электронами. Для более равномерного заполнения используется метод "взвешивания". "Взвешивание" эквивалентно тому, что один электрон дробится на β частиц с массой m/β и зарядом e/β , но с тем же отношением e/m , как у электрона, так что движение этих частиц (назовем их b -электроны) не отличается от движения электронов. Более подробно метод задания волны БГК описан в работе [9]. Отметим, что параметры волны БГК (фазовая скорость, амплитуда) отличаются от параметров исходной ленгмюровской волны и определяются методом последовательных приближений.

В плазме с подвижными ионами на стадии установления ленгмюровской или БГК волны в течение одного – двух плазменных периодов T_{oe} возникает небольшое возмущение скорости ионов. Это приводит к возбуждению стоячей ионно-звуковой волны небольшой амплитуды. Эта волна может играть роль затравочного возмущения плотности для развития конверсии и модуляционной неустойчивости. В ряде случаев это возмущение компенсировалось путем задания в начальный момент времени возмущения скорости ионов с противоположной фазой. В этих случаях роль затравочных возмущений играют i – шумы.

Работа разбита на три части. В первой части рассматриваются случаи, в которых параметры волн БГК исключают развитие сателлитной неустойчивости, во второй и третьей части – случаи, в которых развитие сателлитной неустойчивости возможно.

Работа выполнялась на вычислительной машине Чэллендж фирмы Силикон Графикс, некоторые случаи в первой и второй части – на вычислительных машинах БЭСМ-6 (случай 1-0, 2-0) и ЕС-61 (случай 1-1, 1-2, 2-1, 2-2). Сравнение результатов, полученных на разных машинах (в частности, в случаях 1-0, 1-1, 1-2, 2-1, 2-2) показало, что они различаются только незначительными деталями.

В настоящей работе рассматривается ленгмюровская волна в плазме с подвижными ионами – случаи 1-0, 1-0 К без компенсации (1-0) и с компенсацией (1-0К) ионного возмущения, волна БГК в плазме с неподвижными ионами – случай 1-1, волна БГК в плазме с подвижными ионами – случаи 1-2, 1-2К, 1-3К без компенсации (1-2) и с компенсацией (1-2К, 1-3К) ионного возмущения. Параметры волн в этих случаях приведены в таблице 1.

Отметим, что при задании волны БГК в случаях 1-1, 1-2, 1-2К задается ленгмюровская волна с параметрами случая 1-0. Амплитуда волны БГК в этих случаях $E_0^B = 15,6$ (здесь и далее E нормировано на mr_d/eT_{oe}^2) несколько отличается от случая 1-0 ($E_0 = 17,7$) из-за поля объемного заряда. Немного отличаются и фазовые скорости.

Таблица 1. Начальные параметры волн

Случай	M/m	L/r_d	λ^B/r_d	N_b^0	N'_b	N^B	V_ϕ^B/V_T	E_0^B	V_s^B/V_T	N	V_ϕ^N/V_T	α^{B-N}
1-0	10^2	100	100	—	—	1	16,09	17,7	5,30			
1-0K	10^2	100	100	—	—	1	16,09	17,7	5,30			
1-1	10^{10}	100	100	50	$1,35 \cdot 10^4$	1	15,09	15,6	5,01	2	8,14	0,72
1-2	10^2	100	100	50	$1,35 \cdot 10^4$	1	15,15	15,6	5,01	2	8,14	0,71
1-2K	10^2	100	100	50	$1,35 \cdot 10^4$	1	15,15	15,6	5,01	2	8,14	0,71
1-3 K	10^2	300	100	1	$3 \cdot 10^3$	3	15,96	1,96	1,78	4	12,06	0,46

Случаи 1-0, 1-0K – ленгмюровская волна, остальные – волна БГК. В случаях 1-0K, 1-2K, 1-3K – начальное возмущение скорости ионов скомпенсировано.

M, m – масса ионов и электронов; L – длина системы, λ^B – длина волны; N_B^0, N'_B – число электронов и число ”взвешенных” b – электронов на длине λ^B , $N^B = L/\lambda^B$ – номер гармоники; V_ϕ^B – фазовая скорость; E_0^B – начальная амплитуда (E нормировано на mr_d/eT_{oe}^2); $V_s = 2\sqrt{\frac{e\phi}{m}}$; N – номер гармоники с фазовой скоростью V_ϕ^N , ближней к V_ϕ^B ; $\alpha^{B-N} = \frac{V_s^B + V_s^N}{V_\phi^B - V_\phi^N}$.

Волна БГК в случае 1-1 ($\lambda^B/r_d = 100$; $V_\phi^B/V_T = 15,09$; $E_0^B = 15,6$) в плазме с неподвижными ионами в короткой системе $L = \lambda^B$ исследовалась ранее (случай 1-1 в работах [9, 10]). В такой системе разница фазовых скоростей волны БГК $N^B = 1$ и ближней к ней по фазовой скорости гармоники $N = 2$ довольно велика, так что параметр α^{I-II} меньше граничного $\alpha > 0,8$ для неустойчивости сателлитов [1] – $\alpha^{I-II} = \frac{V_s^I}{V_\phi^I - V_\phi^{II}} \sim 0,72 < 0,8$. Действительно, в случае 1-1 неустойчивость сателлитов не развивается и волна БГК устойчива. Параметры волны (амплитуда, фазовая скорость, распределение плотности и скорости b – электронов) сохраняются в течение длительного времени по крайней мере $\sim 100T_{oe}(\omega_{oe}t \sim 600)$ [9, 10].

Рассмотрим развитие волны БГК в плазме с подвижными ионами ($M/m = 10^2$) в короткой системе $L = \lambda^B$, $N^B = 1$. В случае 1-2 параметры волны ($\lambda/r_d = 100$; $V_\phi^B/V_T = 15,15$; $E_0^B = 15,6$) практически не отличается от случая 1-1. Сравним случай 1-2 со случаем 1-0 ленгмюровской волны с близкими параметрами $\lambda/r_d = 100$; $V_\phi/V_T = 16,09$; $E_0 = 17,7$ в такой же системе $L = \lambda$, $N_e = 1$.

Устойчивость ленгмюровских волн с разными параметрами, в частности, в случае 1-0 в плазме с подвижными ионами исследовалась ранее [4] (случай 1-0 совпадает со случаем 2 в работе [4a] и случаем 1-2 в [46]). Во всех случаях наблюдалась модуляционная неустойчивость. Было найдено, что развитие модуляционной неустойчивости очень чувствительно к затравочному возмущению плотности плазмы. На таком возмущении идет конверсия ленгмюровской волны, которая приводит к генерации гармоник с волновыми векторами $k_N = k_e \pm \beta k_i$; $\beta = 1, 2, 3\dots$ (номера гармоник $N = N_e \pm \beta N_i$) [6, 7]. В динамическом описании конверсия проявляется в модуляции волны, которая и приводит к модуляционной неустойчивости. В работе [4] затравочное возмущение возбуждалось при задании волны. На стадии установления волны за

$1-2 T_{oe}$ возникает небольшое возмущение скорости ионов, что приводит к развитию стоячей ионно-звуковой волны $N_i = 1$. Возмущение плотности в этой волне играет роль затравочного возмущения для конверсии модуляционной неустойчивости. В результате в случае 1-0 практически с самого начала развивается модуляционная неустойчивость, которая проявляется в росте впадины плотности с $\Delta x < \lambda/2$ и концентрации в ней электрического поля ([4а], рис. 3). В спектральном описании неустойчивость проявляется в возбуждении гармоник – ленгмюровских волн $N = 2 - 3 - \dots$ Это видно из рис. 1, где приведены кривые $E^N(t)$ для случая 1-0. Отметим, что здесь и далее приведены усредненные кривые, построенные по средним точкам $E^N(t)$, а мелкомасштабные колебания и колебания с периодом $\Delta t \sim T_{oe}/2$, свидетельствующие о возбуждении обратных волн, не показаны.

Стоячая ионно-звуковая волна $N_i = 1$ небольшой амплитуды возбуждается и при установлении волны БГК. В случае 1-2 максимальная амплитуда гармоники $N_i = 1$ $\tilde{n}/n_0 \sim 4 \cdot 10^{-2}$ достигается в $t/T_{oe} \sim 60$. Как было показано ранее [11], конверсия волны БГК на возмущении плотности при $\tilde{n}/n_0 < 0,1$ много меньше, чем для ленгмюровской волны. В частности, в работе [11] было показано, что конверсия мала и в случае волны БГК с параметрами случая 1-2 и возмущения плотности $N_i = 1$, $\tilde{n}/n_0 \sim 4 \cdot 10^{-2}$.

В случае 1-2, хотя конверсия и приводит к возбуждению гармоники $N = 2$, но амплитуда ее остается малой, а модуляционная неустойчивость не развивается. Это видно из сравнения кривых $E^N(t)$ для случаев 1-0 и 1-2 (рис. 1,2), а также из сравнительных кривых $E^N(t)$ для гармоник $N = 1, 2, 3$ (рис. 3а, б, в). Из рис. 1-3 видно существенное различие развития ленгмюровской волны (случай 1-0) и волны БГК (случай 1-2). Действительно, в случае 1-0 амплитуды гармоник $N = 2$ и несколько позже $N = 3$ быстро нарастают, а амплитуда основной волны $N = 1$ уже в $t/T_{oe} \sim 10 - 15$ начинает падать. В случае 1-2 амплитуда гармоники $N = 1$ остается постоянной, а амплитуды гармоник $N = 2$ и 3 не выходят за пределы уровня шумов $E^N/E_0 \sim 0,1$.

В случае 1-0 начальная амплитуда ленгмюровской волны ($E_0 = 17,7$) несколько отличается от амплитуды волны БГК ($E_0^B = 15,6$). Рассмотрен также случай ленгмюровской волны с амплитудой $E_0 = 15,6$. Найдено, что ее развитие практически не отличается от случая 1-0 – соответствующие кривые отличаются от кривых рис.1, а также рис.4–6 только деталями. Так что модуляционная неустойчивость наблюдается и в этом случае.

В динамическом описании модуляционная неустойчивость проявляется в росте плотности энергии поля и росте глубины впадины плотности. Это видно из кривых $E_m^2/E_0^2(t)$ (рис.4) и $\tilde{n}_m/n_0(t)$ (рис.5) в случае 1-0 (E_m – максимальное значение $E(x)$, \tilde{n}_m – минимальное значение $\tilde{n}(x)$ (глубина впадины плотности) в данный момент времени). Видно, что в случае 1-0 плотность энергии растет до $t/T_{oe} \sim 55$, после чего быстро падает. Ранее [12] было показано, что в это время развивается сильная стохастическая неустойчивость движения электронов плазмы. Эта неустойчивость

приводит к захвату и ускорению электронов плазмы коротковолновыми гармониками конверсии и модуляционной неустойчивости. Это приводит к затуханию гармоник и образованию хвостов ускоренных электронов на функции распределения по скорости. Из рис.6а, где показана зависимость от времени энергии поля W_E и энергии электронов плазмы $\Delta W_e = W_e - W_e^0$ (W_e^0 – тепловая энергия электронов плазмы), видно, что в $t/T_{oe} \geq 50$ начинается затухание поля, причем энергия поля поглощается электронами плазмы. Таким образом, развитие ленгмюровской волны в плазме с подвижными ионами в случае 1-0 приводит к коллапсу [4].

По другому ведет себя волна БГК. Из рис. 4 видно, что плотность энергии в случае 1-2 практически не меняется. Не растет и впадина плотности – изменение $\tilde{n}_m/n_0(t)$ (рис. 5) в случае 1-2 определяется только начальным возмущением ионов. Остаются практически постоянными и энергия поля W_E и энергия ΔW_E (рис. 6б).

На рис. 7,8 показано распределение поля $E(x)$ в волне БГК и распределение возмущения плотности плазмы $\tilde{n}(x)$ в различные моменты времени в случаях 1-0 и 1-2. Видно, что в случае 1-0 в $t/T_{oe} > 40$ образуется впадина плотности, в которой концентрируется поле. Максимальная амплитуда поля достигается в $t/T_{oe} \sim 55 - 60$, после чего поле затухает, а впадина плотности схлопывается. В случае 1-2 распределения поля практически не меняется, хотя несколько искажается шумами. Распределение плотности вначале определяется возмущением ионов $N_i = 1$, но в $t/T_{oe} > 40$ полностью определяется шумами, амплитуда которых достигает величины $\tilde{n}/n_0 \sim 0,1 - 0,15$ в $t/T_{oe} > 60$. Впадин плотности, свидетельствующих о модуляционной неустойчивости не образуется.

На рис. 9 показано распределение b -электронов на фазовой плоскости в $t = 0$ и $t/T_{oe} = 100$ в случае 1-2. Видно, что распределение остается практически постоянным. Небольшое различие заключается в заполнении b -электронами области узлов сепаратрисы к $t/T_{oe} \sim 100$. Это указывает на развитие небольшого стохастического слоя подобно тому, что наблюдалось в случае 1-1 в плазме с неподвижными ионами [10].

На рис. 10а,б показано распределение плотности b -электронов $n_b(x)$, на рис. 11а,б – функция распределения по скорости $f_b(V)$ b – электронов в случаях 1-2 (а) и 1-1 (б). Пунктиром на этих рисунках показаны начальные $n_b(x)$ и $f_b(V)$. Видно, что до $t/T_{oe} \sim 100$ распределение плотности и скорости в обоих случаях практически не меняется, кроме небольшого роста n_b в узлах $x/r_d \sim 0$ и 100 . В случаях 1-1 и 1-2 распределение $n_b(x)$ и $f_b(V)$ практически не различается.

Совокупность этих фактов показывает, что волна БГК с параметрами случая 1-2 устойчива в плазме с подвижными ионами так же как и в плазме с неподвижными ионами в отличие от ленгмюровской волны с близкими параметрами.

Рассмотрим случай 1-0К – ленгмюровская волна с параметрами $\lambda/r_d = 100$; $V_\phi^B/V_T = 16,09$; $E_0 = 17,7$; $N_e = 1$ и случай 1-2К – волна БГК с параметрами $\lambda^B/r_d = 100$; $V_\phi^B/V_T = 15,15$; $E_0^B = 15,6$; $N^B = 1$. Параметры волн в этих случаях те же, что и в случаях 1-0 и 1-2, но начальное возмущение скорости ионов, возникающее на стадии

установления волны, скомпенсировано заданием такого же возмущения в противоположной фазе. Таким образом, в случаях 1-0К и 1-2К нет выделенного возмущения плотности плазмы. Широкий спектр возмущений плотности развивается в результате роста шумов. Амплитуда шумов достигает величины $\tilde{n}/n_0 \sim 0,1$ и $t/T_{oe} \sim 50 - 60$.

В случае ленгмюровской волны 1-0К, так же, как и в случае 1-0, наблюдается развитие модуляционной неустойчивости. По кривым $E^N(t)$ видно, что в $t/T_{oe} > 50$ начинают расти амплитуды гармоник $N = 2$, позже $N = 3 - 4\dots$, а амплитуда основной волны начинает падать. Развитие модуляционной неустойчивости видно из рис.12, где показано распределение поля и возмущения плотности плазмы в разные моменты времени. Развитие модуляционной неустойчивости в случае 1-0К начинается в $t/T_{oe} \sim 50$ – позже, чем в случае 1-0, но имеет тот же характер. Из рис. 12 видно, что к $t/T_{oe} \sim 90$ формируется впадина плотности, в которой концентрируется поле. Глубина впадины и амплитуда поля (плотность энергии) растут до тех пор, пока не начнется затухание, связанное с поглощением энергии поля электронами плазмы. Таким образом, в случае 1-0К также наблюдается коллапс.

В случае волны БГК 1-2К, так же как и в случае 1-2, модуляционная неустойчивость не развивается – волна остается устойчивой по крайней мере в течение $200 T_{oe}$ ($\omega_{oe}t \sim 1200$). По кривым $E^N(t)$ видно, что амплитуда волны БГК меняется незначительно, а амплитуды остальных гармоник не превышают уровня шумов $E^N/E_0 \sim 0,10 - 0,15$. Выделенных гармоник нет. Это показывает, что ни сателлитная, ни модуляционная неустойчивость не развиваются.

Отсутствие модуляционной неустойчивости видно из рис. 13, где показано распределение поля, плотности плазмы и плотности b – электронов. Действительно, видно что впадин плотности не образуется – распределение $\tilde{n}(x)$ определяется i – шумами, амплитуда которых к $t/T_{oe} \sim 150 - 200$ достигает величины $\tilde{n}/n_0 \sim 0,17 - 0,18$. Распределение поля практически сохраняется, хотя несколько искажается шумами.

На рис. 14 видно, что распределение b – электронов на фазовой плоскости остается практически постоянным, хотя область узлов сепаратрисы, как и в случаях 1-1 и 1-2 заполняется b – электронами. Практически сохраняется распределение плотности $n_b(x)$ b – электронов (рис. 13) и функции распределения b – электронов и электронов плазмы (рис. 15).

Таким образом, волна БГК с параметрами, исключающими возможность возбуждения сателлитной неустойчивости, остается устойчивой относительно возбуждения модуляционной неустойчивости и в плазме с шумами, амплитуда которых достигает величины $\tilde{n}/n_0 \sim 0,2$ (случай 1-2К), и в плазме, когда кроме шумов существует небольшое возмущение плотности с $\tilde{n}/n_0 \sim 4 \cdot 10^{-2}$ (случай 1-2). Ленгмюровская волна с близкими параметрами (случай 1-0, 1-0К) при тех же условиях неустойчива – ее развитие приводит к модуляционной неустойчивости и коллапсу.

В случаях 1-2, 1-2К рассматривается короткая система $L = \lambda^B$, так что $N^B = 1$, и для ближней по фазовой скорости гармоники $N = 2 \alpha^{I-II} = \frac{V_s^I}{V_\phi^I - V_\phi^{II}} \sim 0,71$ меньше граничной $\alpha > 0,8$ для неустойчивости сателлитов. Рассмотрен также случай 1-3К

– волна БГК в длинной системе $L = 3\lambda^B$. В такой системе $N^B = 3$ и гармоники системы $N = 4 - 5$ имеют фазовые скорости более близкие к фазовой скорости волны БГК, чем $N = 2$ в случаях 1-2, 1-2К. Для уменьшения α в случае 1-3К уменьшена амплитуда волны БГК. Параметры волны БГК ($\lambda^B/r_d = 100$; $V_\phi^B/V_T = 15,96$; $E_o^B = 1,96$; $V_s^B/V_T = 1,78$; начальное возмущение скорости ионов скомпенсировано) выбраны так, что для волны БГК $N^B = 3$ и ближней по фазовой скорости гармоники $N = 4$ $\alpha^{III-IV} = \frac{V_\phi^{III}}{V_\phi^{III}-V_\phi^{IV}} \sim 0,46$ заметно меньше граничной для неустойчивости сателлитов.

Волна БГК с такими параметрами в плазме с неподвижными ионами исследовалась в работе [3]. Было показано, что она устойчива относительно возбуждения сателлитов и слияния сгустков.

В случае 1-3К рассматривается волна БГК в плазме с подвижными ионами ($M/m = 10^2$). Модуляционная неустойчивость не развивается и в этом случае – волна остается устойчивой по крайней мере в течение $100T_{oe}(\omega_{oe}t \sim 600)$. По кривым $E^N(t)$ видно, что амплитуда волны БГК практически не меняется, а амплитуды остальных гармоник не превышают уровня шумов $E^N/E_0 \sim 0,3 - 0,4$, выделенных гармоник нет. Это показывает, что ни сателлитная, ни модуляционная неустойчивость не развиваются.

Отсутствие модуляционной неустойчивости видно из рис. 16, где показано распределение поля, плотности плазмы и плотности b – электронов. Действительно видно, что впадин плотности не образуется – распределение $\tilde{n}(x)$ определяется i – шумами, амплитуда которых к $t/T_{oe} \sim 100$ достигает величины $\tilde{n}/n_0 \sim 0,17$. Распределение поля практически сохраняется, хотя сильно искажается шумами. Практически сохраняется и распределение плотности b – электронов $n_b(x)$, хотя область узлов сепараторы заполняется b – электронами, что видно из рис. 16, 17. Практически сохраняются и функции распределения b – электронов и электронов плазмы (рис. 18).

Таким образом, и в длинной системе в плазме с подвижными ионами волна БГК с параметрами, исключающими возможность возбуждения сателлитной неустойчивости, оказывается устойчивой.

Литература

- 1 Г.А. Артин, Н.С. Бучельникова, Б.Н. Лазеев. Волна Бернштейна–Грина–Крускала в длинной системе. I Неустойчивость сателлитов. Препринт ИЯФ 95-23, 1995.
- 2 Г.А. Артин, Н.С. Бучельникова, Б.Н. Лазеев. Волна Бернштейна–Грина–Крускала в длинной системе. II Неустойчивость сателлитов. Препринт ИЯФ 95-24, 1995.
- 3 Г.А. Артин, Н.С. Бучельникова, Б.Н. Лазеев. Волна Бернштейна–Грина–Крускала в длинной системе. III Неустойчивость сателлитов. Препринт ИЯФ 95-25, 1995.
- 4 Н.С. Бучельникова, Е.П. Маточкин. а) Физика плазмы, 7, 383, 1981. б) Неустойчивость одномерной ленгмюровской волны. Солитоны и коллапс. Препринт ИЯФ 78-76, 1978.
- 5 N.S. Buchelnikova, E.P. Matochkin. Plasma Phys, 23, 35, 1981.
- 6 P.K. Kaw, A.T. Lin, J.M. Dawson. Phys. Fluids, 16 (1967) 1973.
- 7 N.S. Buchelnikova, E.P. Matochkin. Physica Scripta, 24, 566, 1981.
- 8 J.A. Byers, M.S. Grewal. Phys. Fluids, 13, 1819, 1970.
- 9 Н.С. Бучельникова, Б.Н. Лазеев. Волна Бернштейна–Грина–Крускала I. Препринт ИЯФ 93-97, 1993.
- 10 Н.С. Бучельникова, Б.Н. Лазеев. Волна Бернштейна–Грина–Крускала. II. Взаимодействие с ленгмюровской волной. Стохастические эффекты. Препринт ИЯФ 93-98, 1993.
- 11 Н.С. Бучельникова, Б.Н. Лазеев. Конверсия волны Бернштейна–Грина–Крускала на возмущении плотности. I, II, III. Препринты ИЯФ 94-48, 94-49, 94-50, 1994.
- 12 N.S. Buchelnikova, E.P. Matochkin. Phys. Lett., 112A, 330, 1985.

Г.А. Артин, Н.С. Бучельникова

**Волна Бернштейна–Грина–Крускала.
Модуляционная неустойчивость. I.**

G.A. Artin, N.S. Buchelnikova

**The Bernstein–Green–Kruskal Wave.
The Modulational Instability. I.**

ИЯФ 96-30

Ответственный за выпуск С.Г. Попов

Работа поступила 6.05.1996 г.

Сдано в набор 12.05.1996 г.

Подписано в печать 12.05.1996 г.

Формат бумаги 60×90 1/16 Объем 2.3 печ.л., 1.9 уч.-изд.л.

Тираж 250 экз. Бесплатно. Заказ № 30

Обработано на IBM PC и отпечатано на
ротапринте ГНЦ РФ "ИЯФ им. Г.И. Будкера СО РАН",
Новосибирск, 630090, пр. академика Лаврентьева, 11.

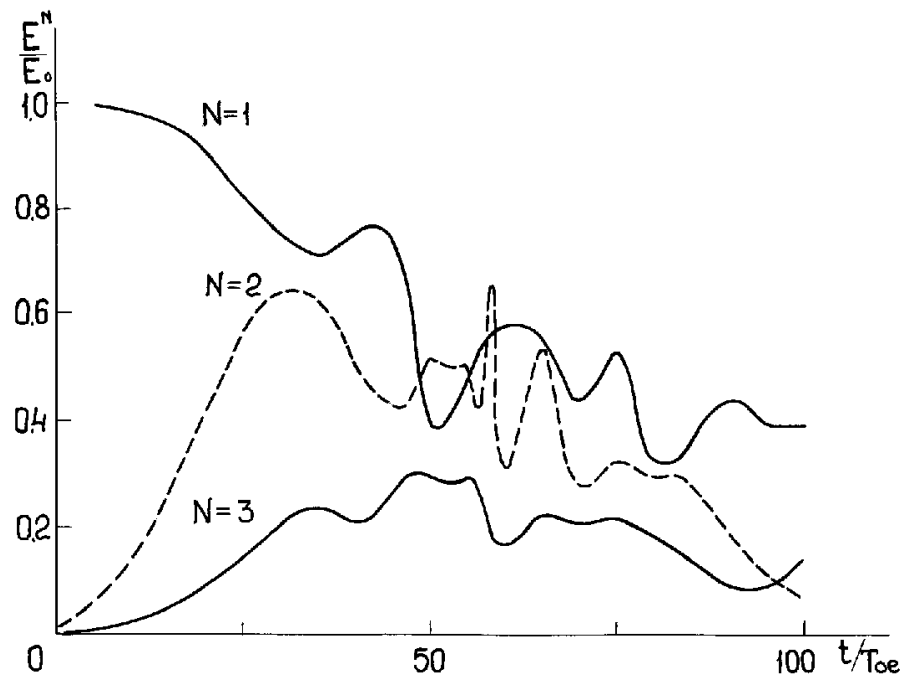


Рис. 1: Зависимость от времени амплитуды ленгмюровской волны $N = 1$ и гармоник $N = 2$ и 3 . Случай 1–0. $E_0 = 17, 7$.

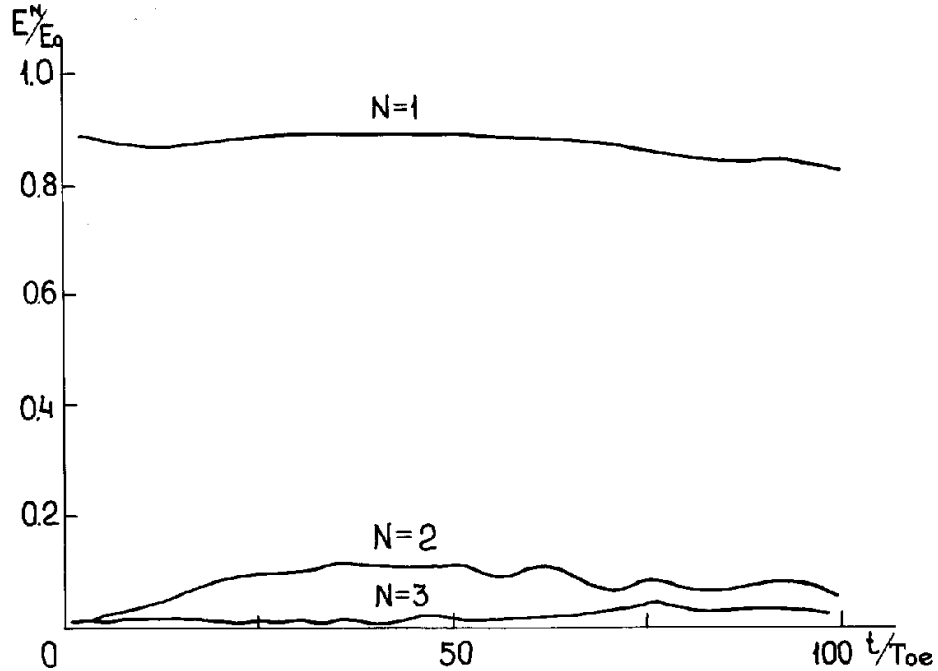


Рис. 2: Зависимость от времени амплитуды волны БГК $N = 1$ и гармоник $N = 2$ и 3 . Случай 1–2. $E_0 = 17, 7$.

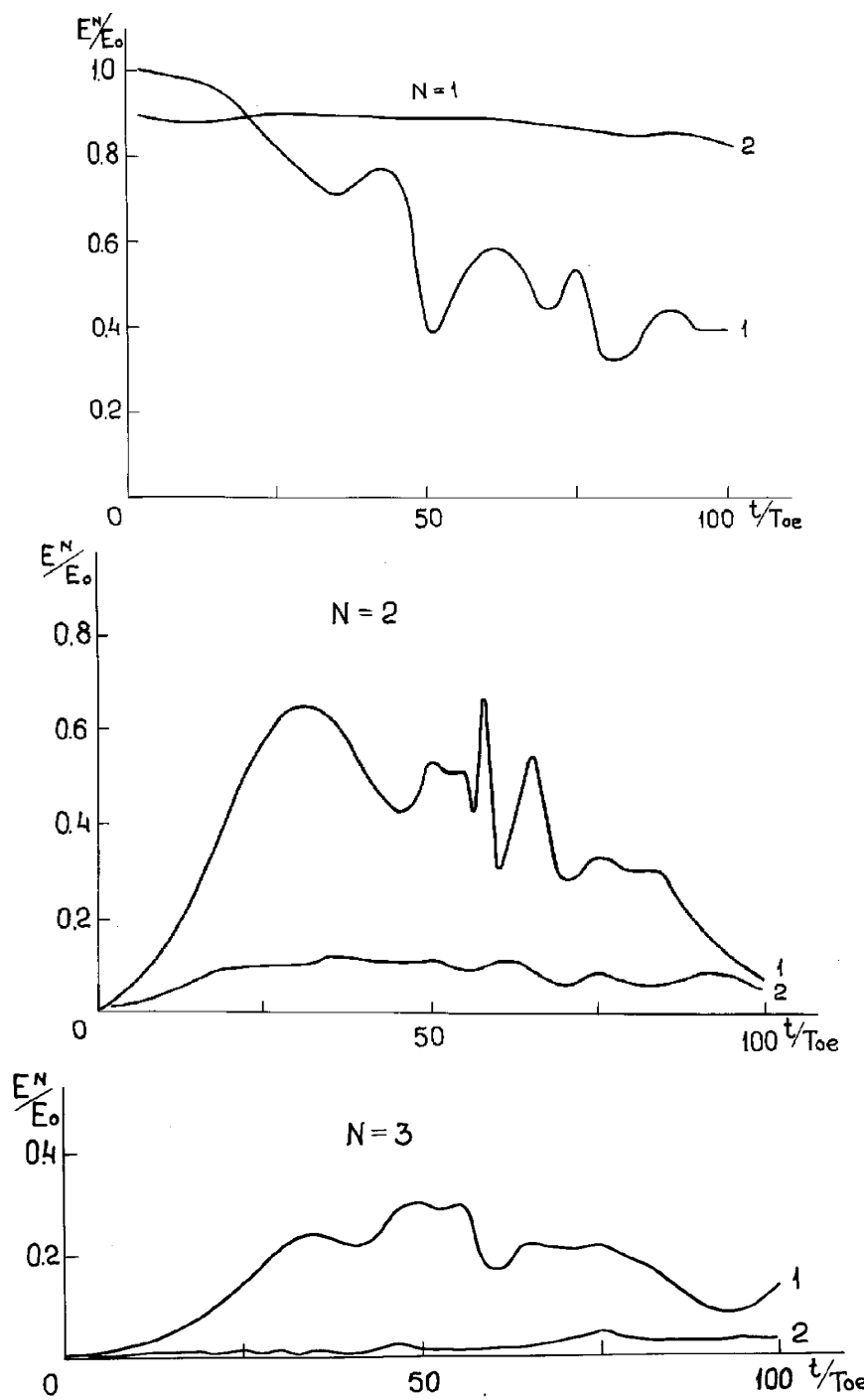


Рис. 3: Зависимость от времени амплитуды ленгмюровской и БГК волны $N = 1$ (рис. 3а), гармоник $N = 2$ (рис. 3б) и $N = 3$ (рис. 3в). 1 – случай 1–0, 2 – случай 1–2. $E_0 = 17, 7$.

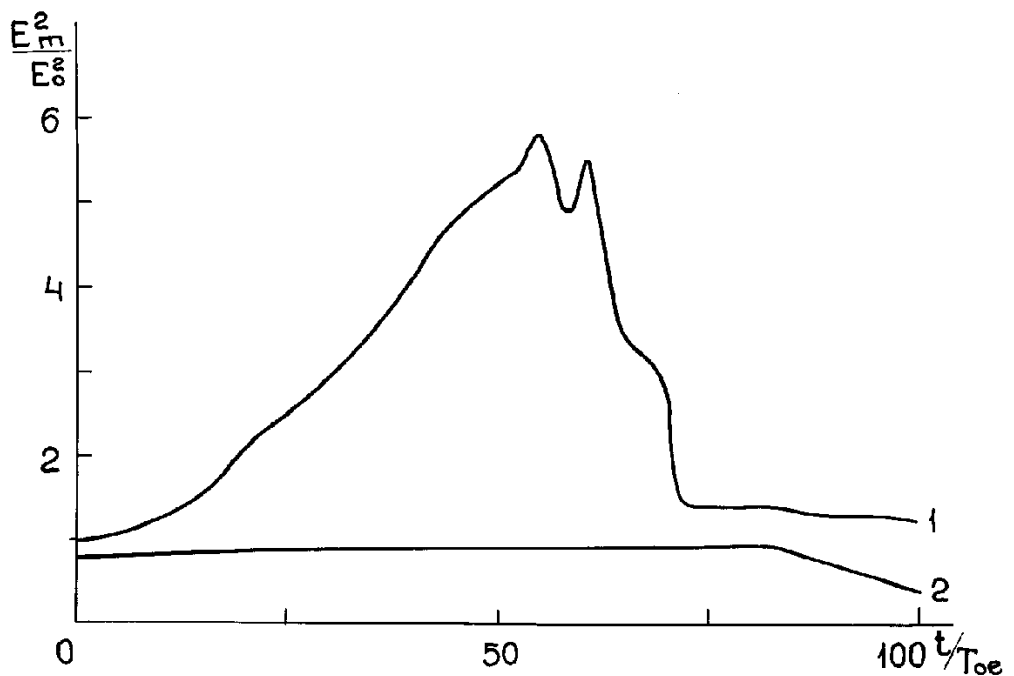


Рис. 4: Зависимость от времени плотности энергии поля. 1 – случай 1–0, 2 – случай 1–2. $E_0 = 17, 7$. E_m – максимальное значение $E(x)$ в данный момент времени.

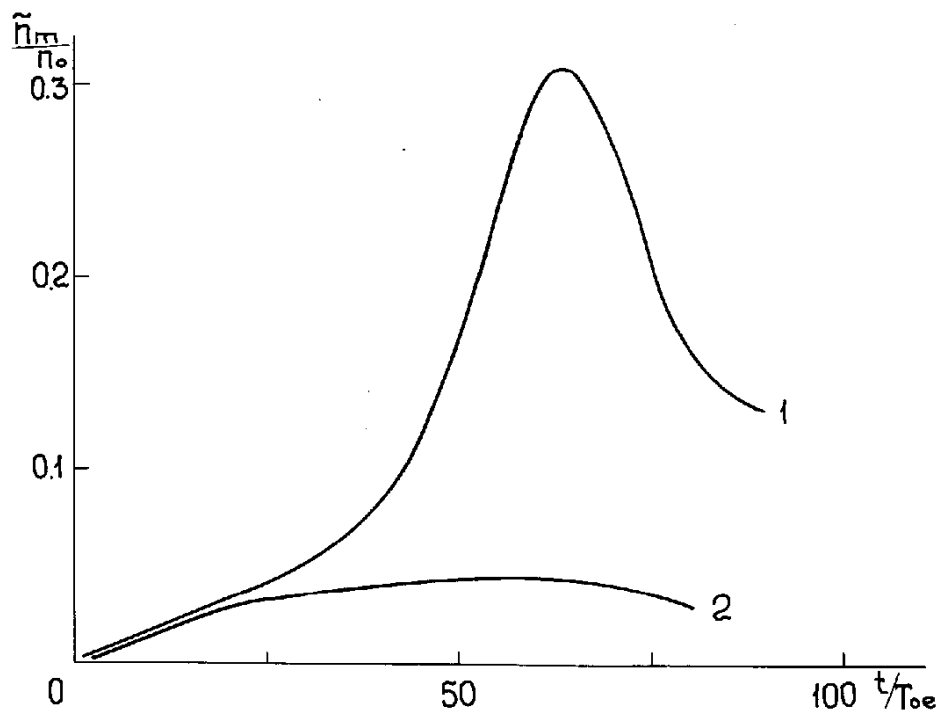


Рис. 5: Зависимость от времени максимального возмущения плотности плазмы. 1 – случай 1–0, 2 – случай 1–2. \tilde{n}_m – глубина впадины плотности в данный момент времени.

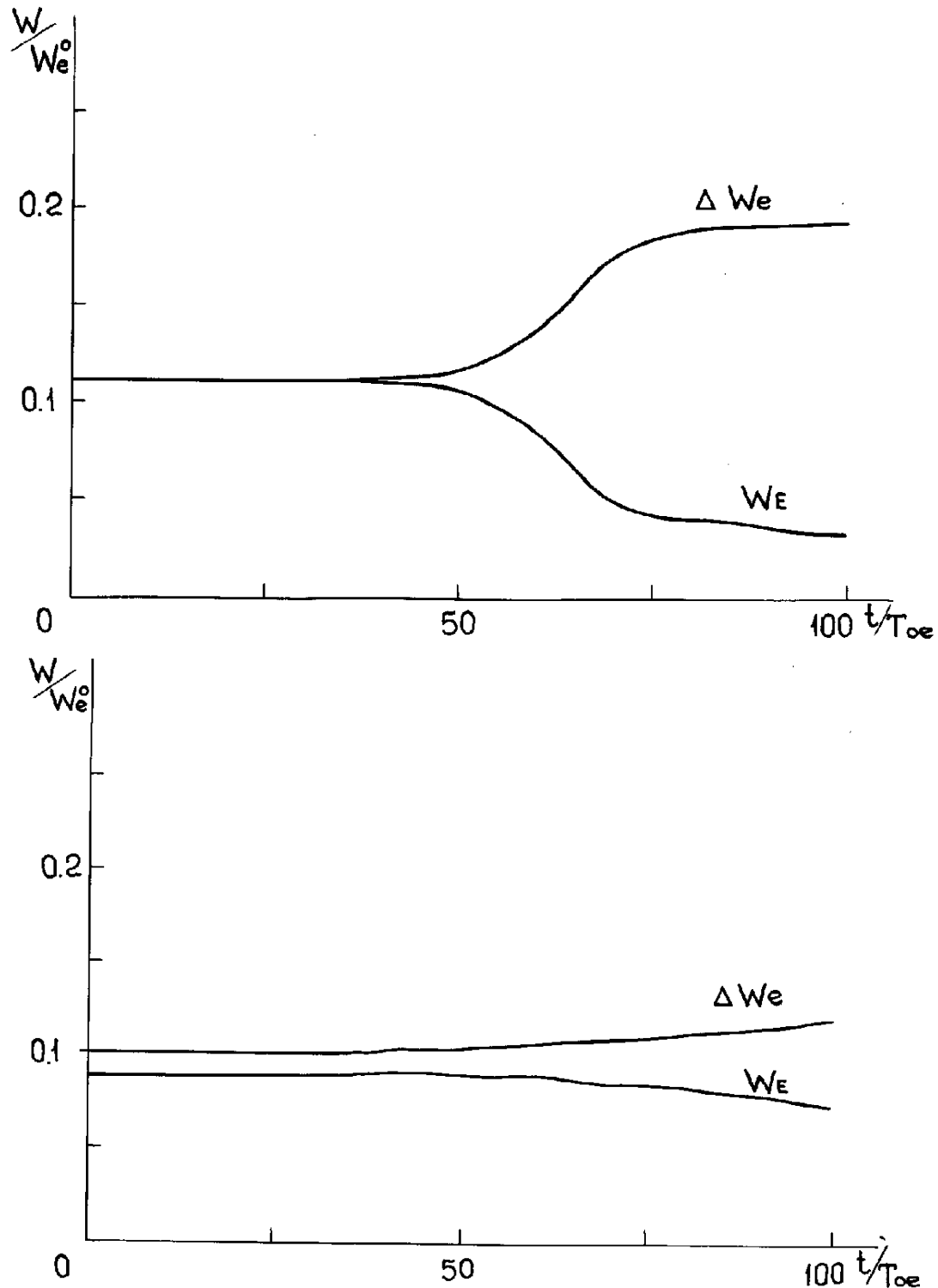


Рис. 6: Зависимость от времени энергии поля W_E и энергии электронов плазмы $\Delta W_e = W_e - W_e^0$. Случай 1-0 (рис. 6а), случай 1-2 (рис. 6б).

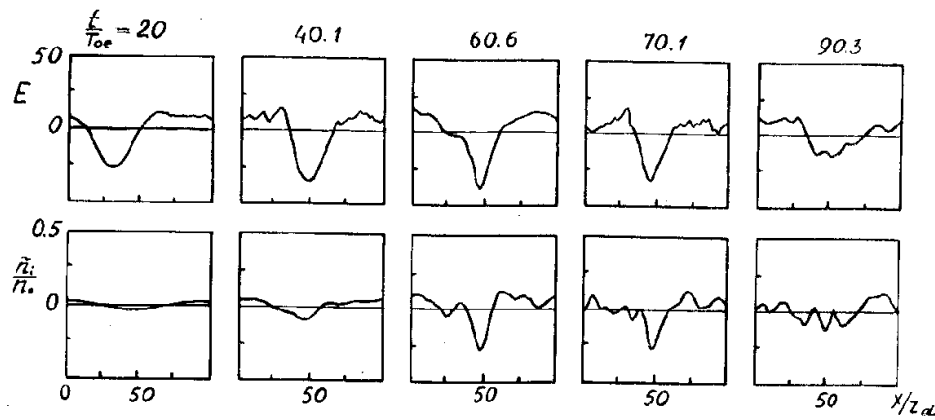


Рис. 7: Распределение поля $E(x)$ и возмущения плотности плазмы $\tilde{n}(x)$ в разные моменты времени. Случай 1–0. E нормирована на mr_d/eT_{oe}^2 .

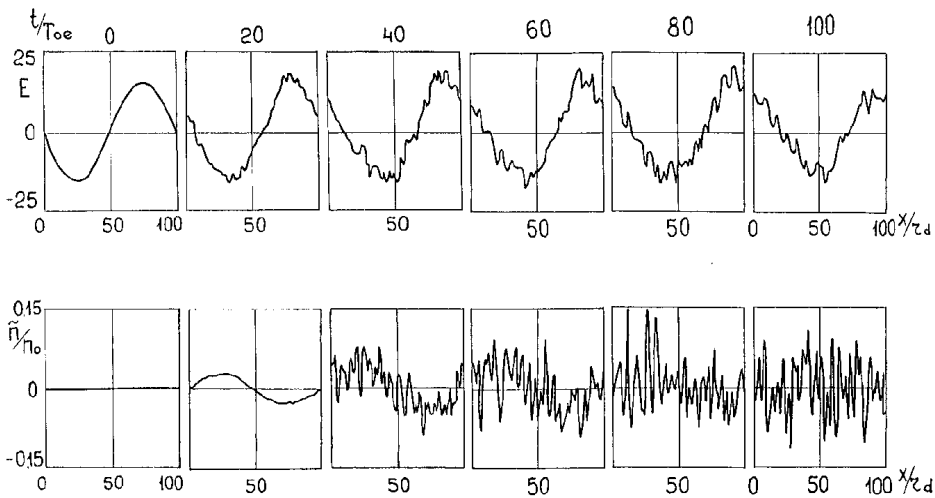


Рис. 8: Распределение поля $E(x)$ и возмущения плотности плазмы $\tilde{n}(x)$ в разные моменты времени. Случай 1–2. E нормирована на mr_d/eT_{oe}^2 .

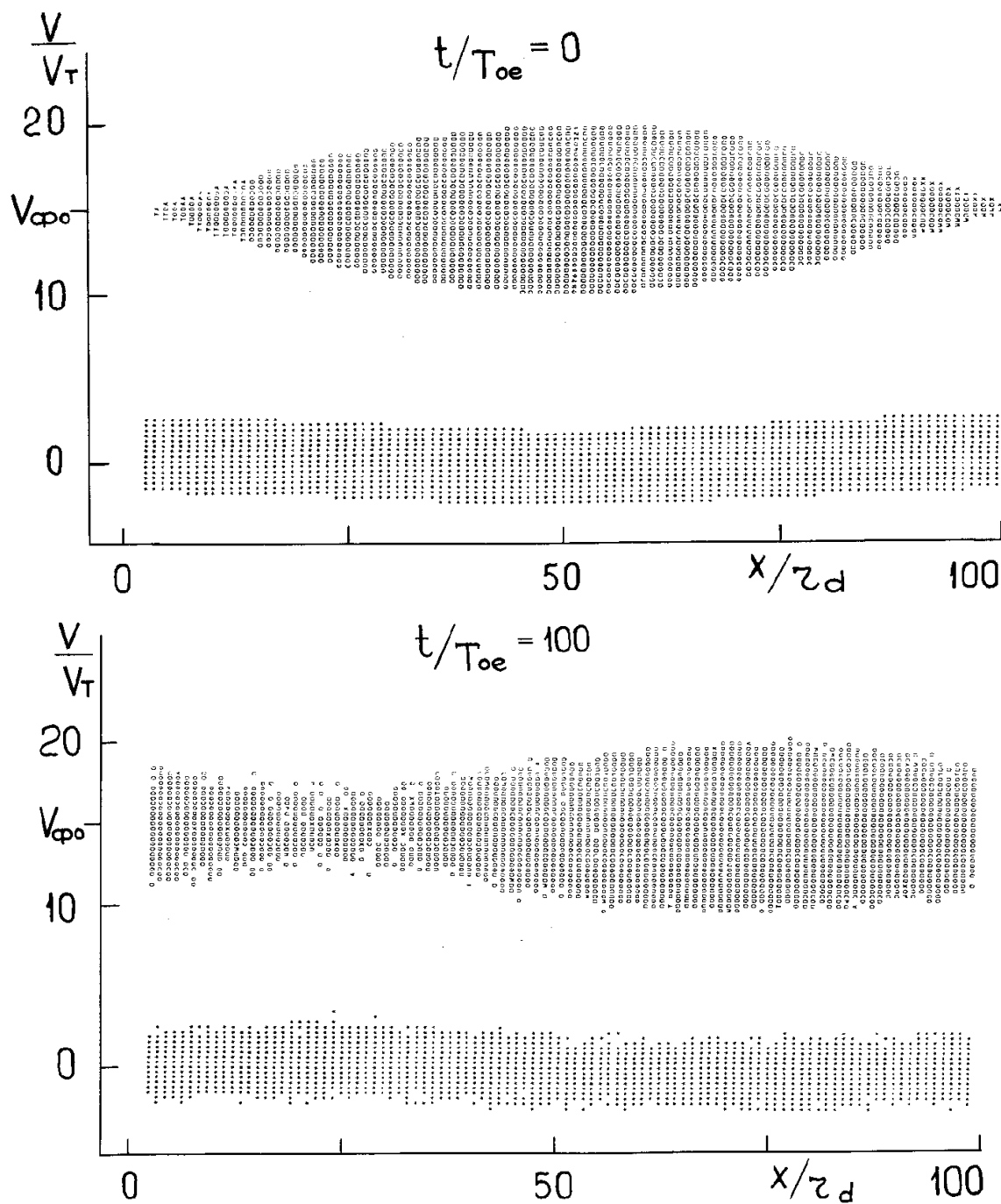


Рис. 9: Фазовые плоскости электронов. Случай 1–2.

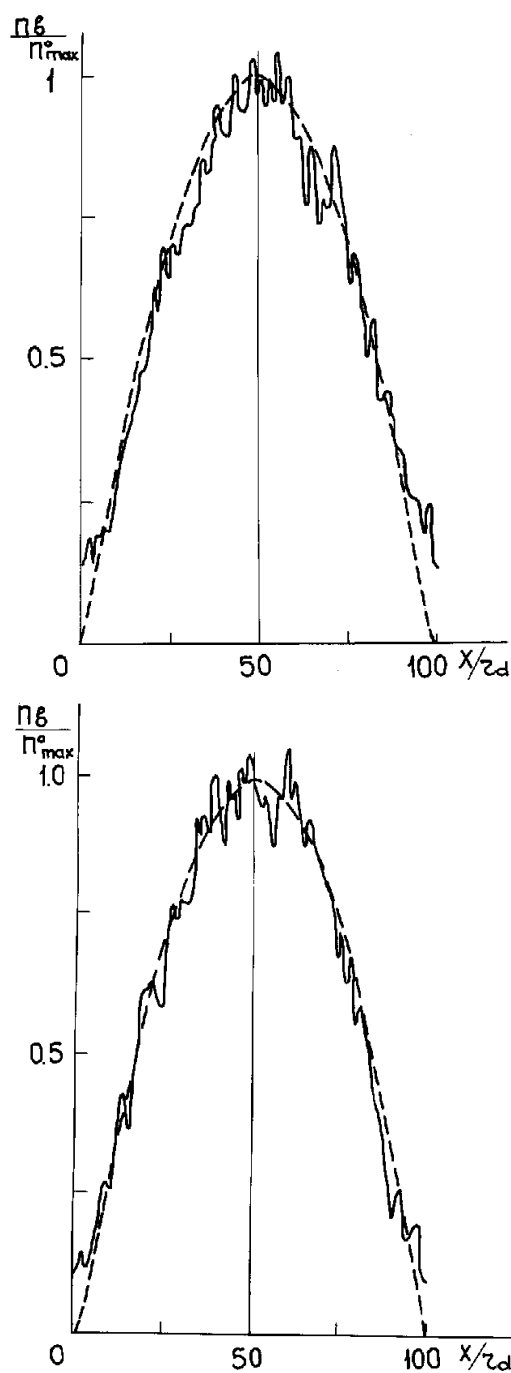


Рис. 10: Распределение плотности b -электронов $n_b(x)$ в $t/T_{oe} = 100$ и $t = 0$ (пунктир). Случай 1-2 (рис. 10а) и случай 1-1 (рис. 10б). $n_{\max}^0/n_b^0 = 1,6$; $n_b^0/n_0 = 5 \cdot 10^{-3}$.

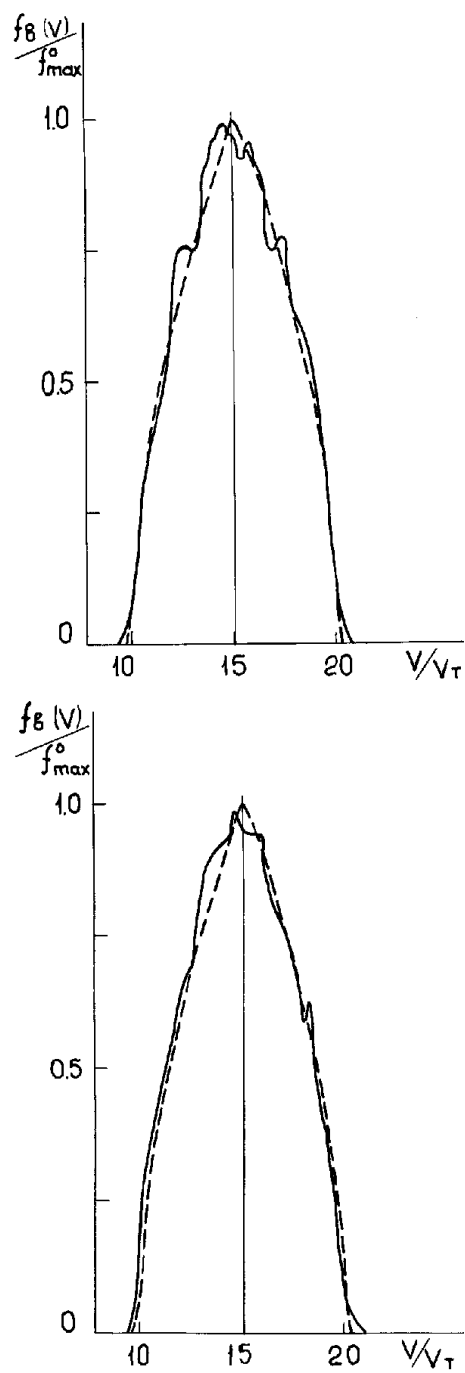


Рис. 11: Функция распределения по скорости b -электронов $f_b(V)$ в $t/T_{oe} = 100$ и $t = 0$ (пунктир). Случай 1–2 (рис. 11а) и случай 1–1 (рис. 11б). $f_{\max}^0 = 331$.

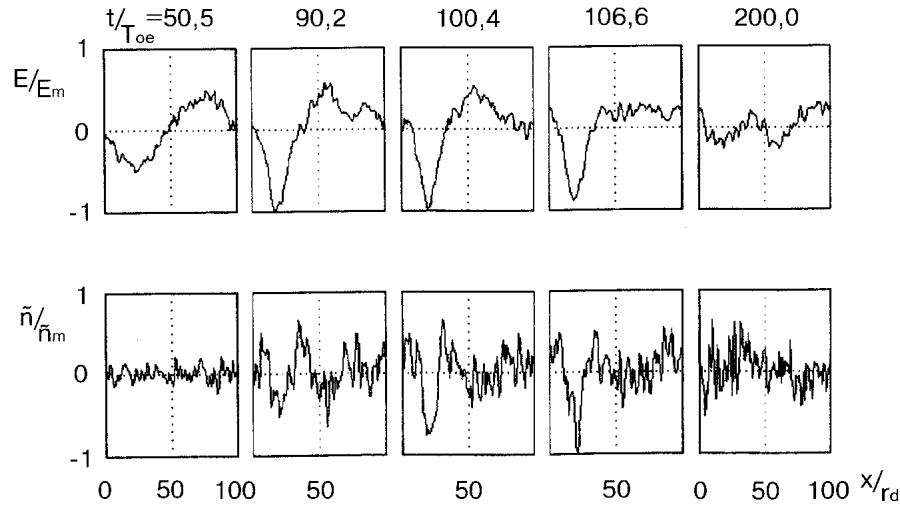


Рис. 12: Распределение поля $E(x)$ и возмущения плотности плазмы $\tilde{n}(x)$ в разные моменты времени. Случай 1–OK. $E_m/E_0 = 2,21$; $E_0 = 17,7$; $\tilde{n}_m/n_0 = 0,30$; E_m, \tilde{n}_m – максимальное значение $|E(x)|, |\tilde{n}(x)|$.

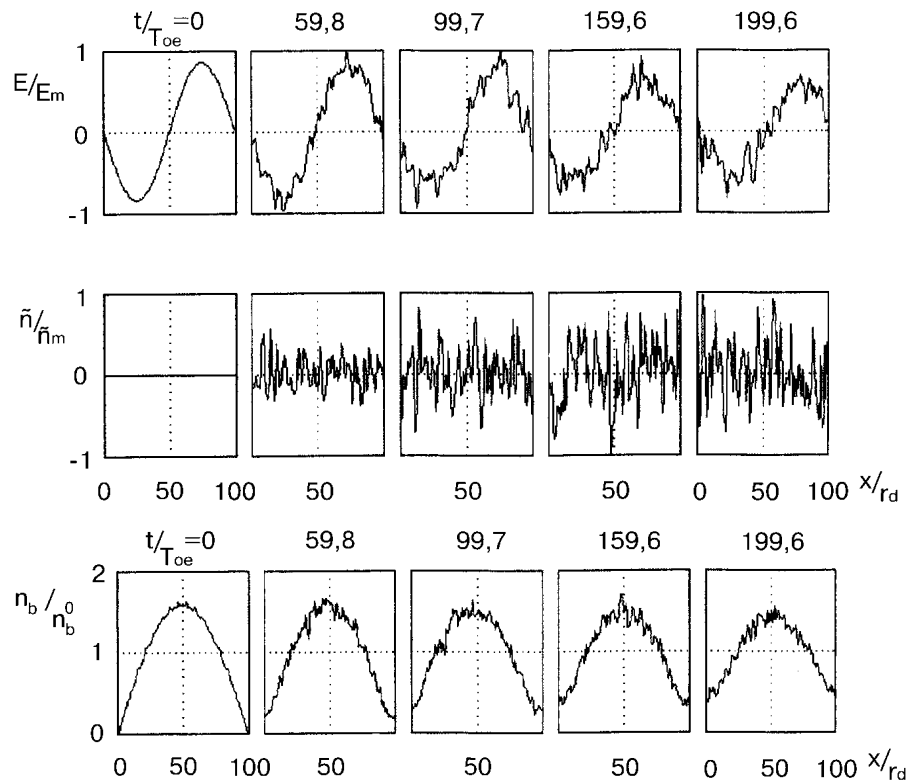


Рис. 13: Распределение поля $E(x)$, возмущения плотности плазмы $\tilde{n}(x)$ и плотности b -электронов $n_b(x)$. Случай 1–2К. $E_m/E_0 = 1,18$; $E_0 = 15,6$; $\tilde{n}_m/n_0 = 0,18$; $n_b^0/n_0 = 5 \cdot 10^{-3}$, $n_b^0 = N_b^0/L$, E_m, \tilde{n}_m – максимальное значение $|E(x)|, |\tilde{n}(x)|$.

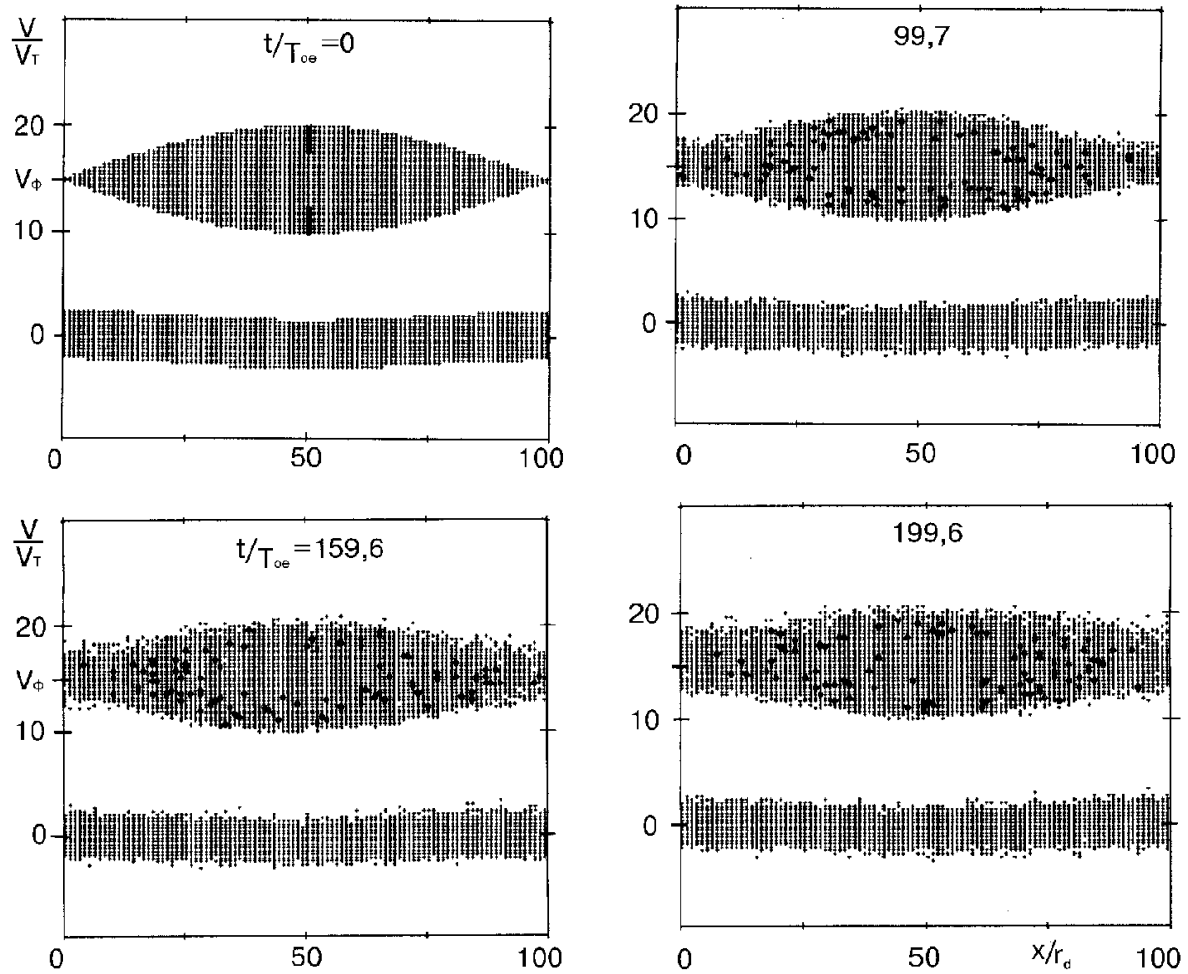


Рис. 14: Фазовые плоскости электронов. Случай 1–2К.

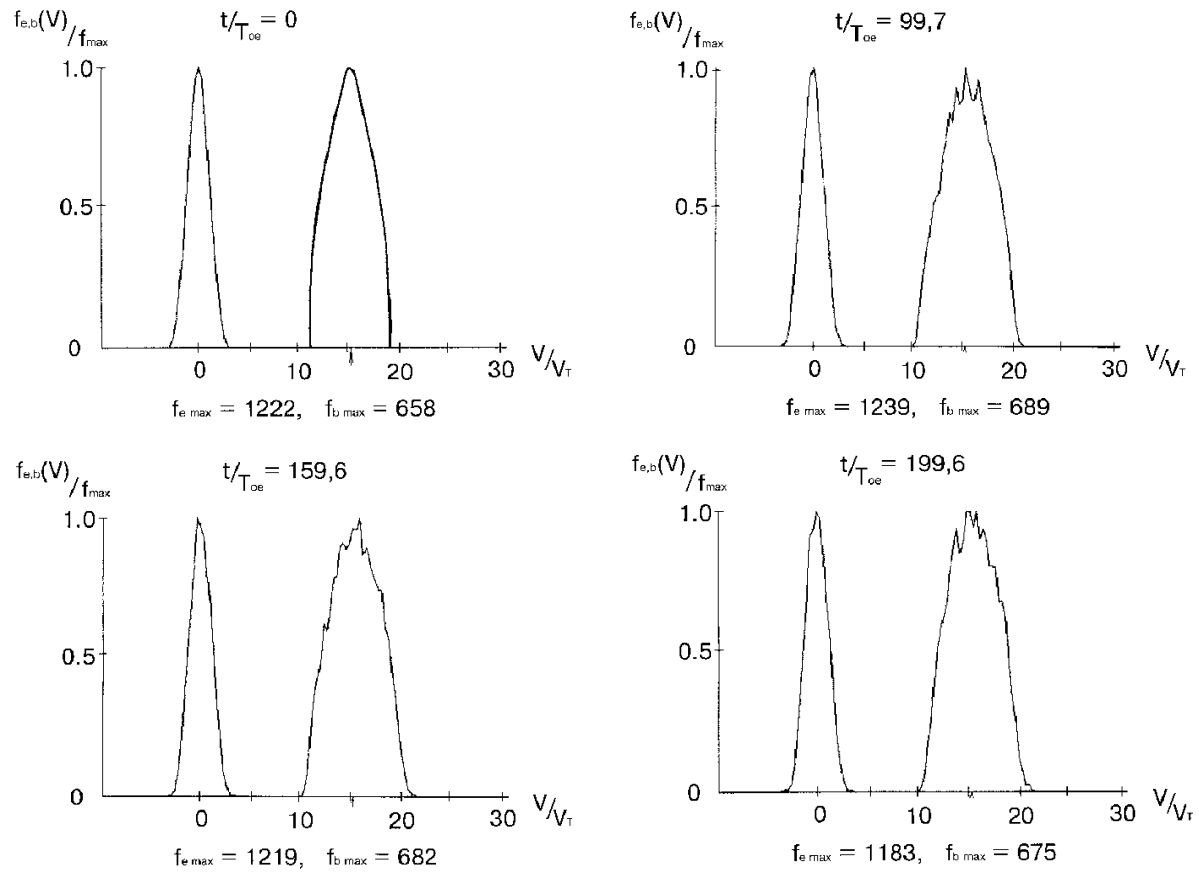


Рис. 15: Функции распределения электронов плазмы и b -электронов. Случай 1–2К.
Стрелкой отмечена начальная фазовая скорость волны БГК $V_g^B/V_T = 15, 2$.

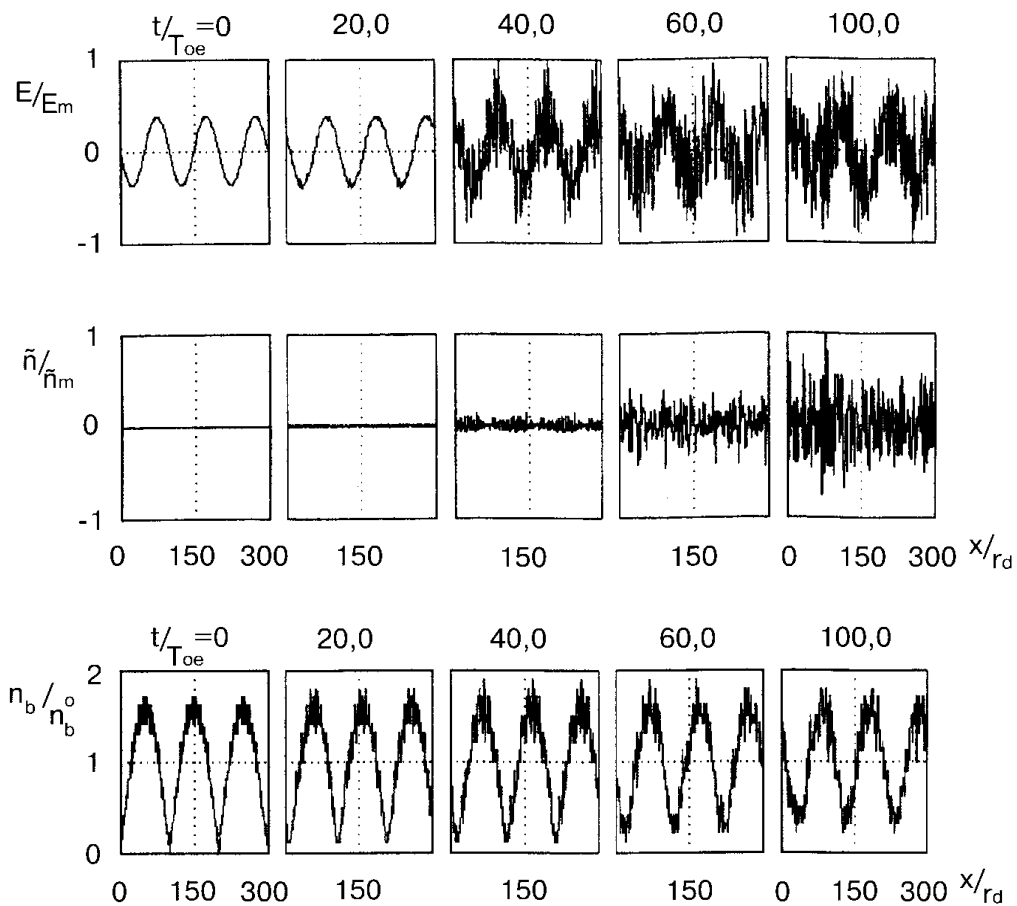


Рис. 16: Распределение поля $E(x)$, возмущения плотности плазмы $\tilde{n}(x)$ и плотности b – электронов $n_b(x)$. Случай 1–3К. $E_m/E_0 = 2,65$; $E_0 = 1,96$; $\tilde{n}_m/n_0 = 0,17$; $n_b^0/n_0 = 1 \cdot 10^{-4}$, $n_b^0 = N_b^0/L$, E_m, \tilde{n}_m – максимальное значение $|E(x)|, |\tilde{n}(x)|$.

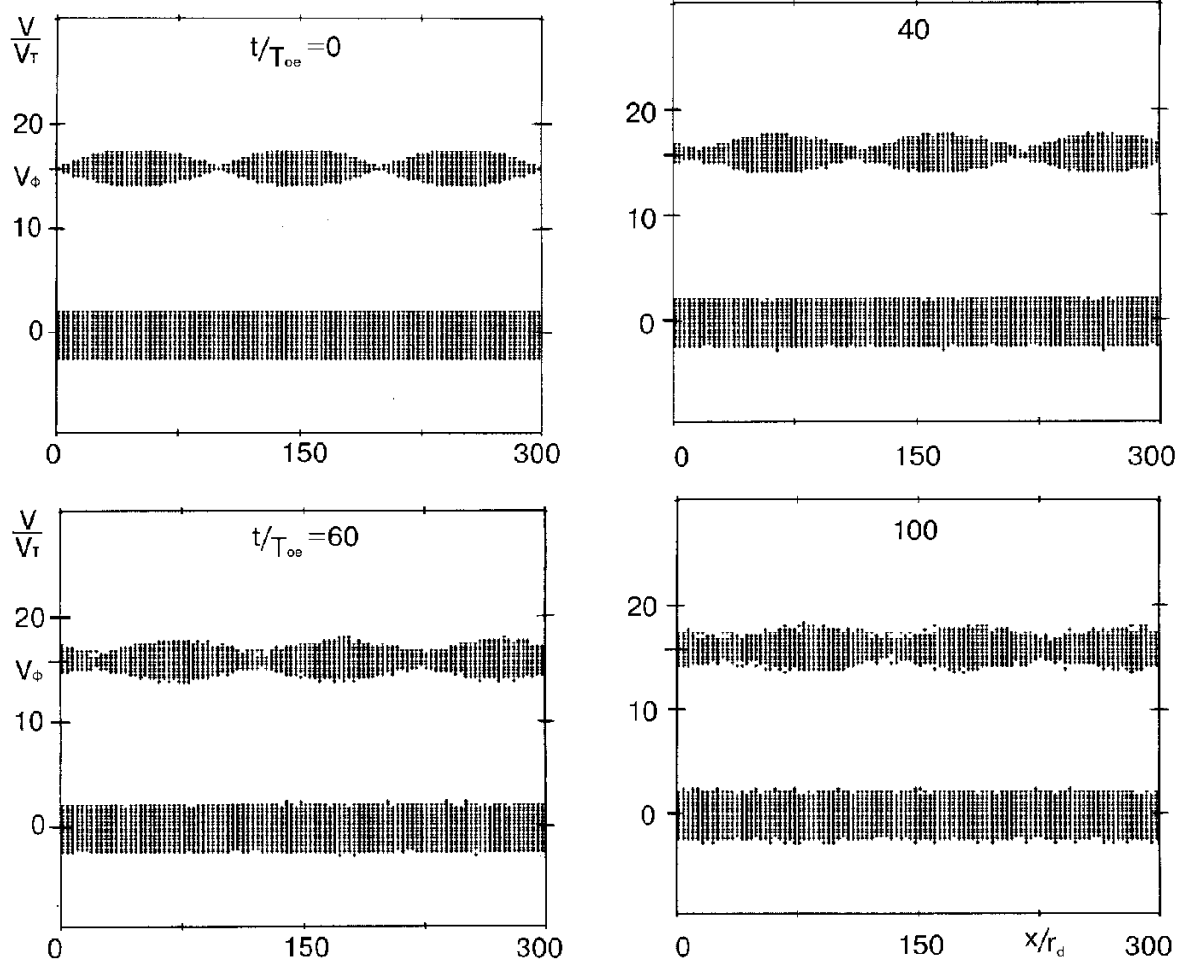


Рис. 17: Фазовые плоскости электронов. Случай 1–3К.

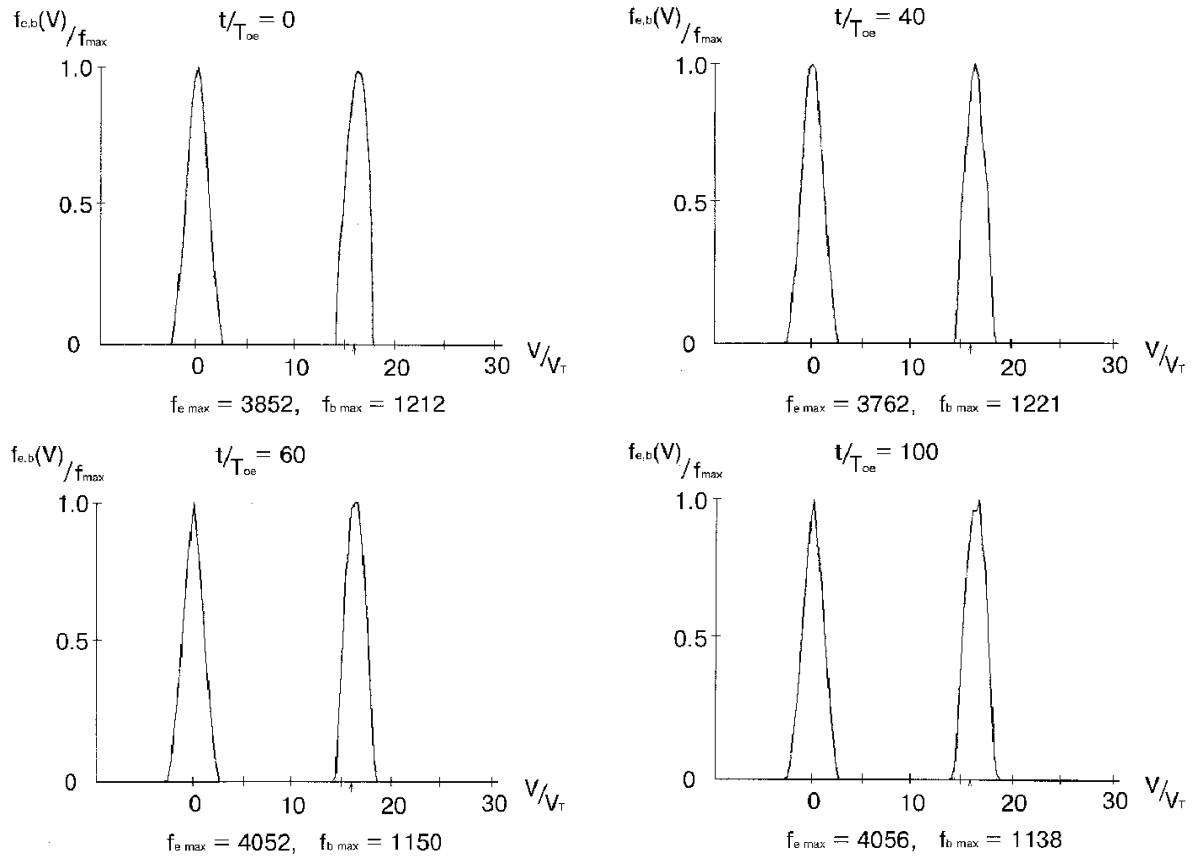


Рис. 18: Функции распределения электронов плазмы и b -электронов. Случай 1–3К.
Стрелкой отмечена начальная фазовая скорость волны БГК $V_\beta^B/V_T = 16$.